• 化学成分 •

三七花中1个新的丙二酸酰化型人参皂苷

杨晓楠,王洪达,李威威,孙梦晓,李雪*,杨文志* 天津中医药大学省部共建组分中药国家重点实验室,天津 301617

摘 要:目的 研究三七 Panax notoginseng 花的化学成分。方法 采用 70%乙醇水超声提取,醋酸乙酯与正丁醇萃取,利用 D101 大孔吸附树脂、硅胶、MCI gel CHP20、ODS 反相柱色谱和制备液相色谱等方法进行分离和纯化,通过高分辨质谱、以及核磁共振波谱等多种光谱技术进行化合物结构解析和鉴定。结果 从三七花提取物中分离并鉴定出 13 个化合物,包括 1 个新丙二酸酰化型人参皂苷:3 β ,12 β ,20S-达玛烷型四环三萜-24-烯-3-O-[β -D-吡喃葡萄糖基(1→2)-(6-O-丙二酰基)-O- β -D-吡喃葡萄糖基]-20-O-[β -D-吡喃葡萄糖基(1→6)]-O- β -D-吡喃葡萄糖苷 (1),以及 12 个已知化合物。其中,中性人参皂苷 10 个:人参皂苷 Rd(2)、人参皂苷 F₁(3)、人参皂苷 Rb₁(4)、人参皂苷 Rb₂(5)、人参皂苷 Rb₃(6)、人参皂苷 Rc(7)、竹节参皂苷 Ls(8)、人参皂苷 F₃(9)、三七皂苷 FP₂(10)、三七皂苷 Fa(11);黄酮类化合物 2 个:山柰酚-3-O- β -D-吡喃葡萄糖基-(1→2)- β -D-吡喃半乳糖苷(12)和槲皮素-3-O- β -D-吡喃葡萄糖基-(1→2)- β -D-吡喃半乳糖苷(13)。结论 化合物 1 为新化合物,命名为丙二酰三七花蕾皂苷 Rb₁,化合物 9 为首次从三七植物中分离得到。

关键词: 三七花; 人参皂苷; 丙二酰三七花蕾皂苷 Rb1; 三萜皂苷; 人参皂苷 F3

中图分类号: R284.1 文献标志码: A 文章编号: 0253 - 2670(2022)19 - 5945 - 10

DOI: 10.7501/j.issn.0253-2670.2022.19.001

A new malonylginsenoside from flower buds of Panax notoginseng

YANG Xiao-nan, WANG Hong-da, LI Wei-wei, SUN Meng-xiao, LI Xue, YANG Wen-zhi State Key Laboratory of Component-based Chinese Medicine, Tianjin University of Traditional Chinese Medicine, Tianjin 301617, China

Abstract: Objective To systematically investigate the chemical constituents of the flower buds of *Panax notoginseng*. Methods Ultrasonic extraction by 70% aqueous ethanol, successive solvent extraction by ethyl acetate and *n*-butanol, normal-/reversed-phase column chromatography by D101 macroporous adsorption resin, silica gel, MCI gel CHP20, and ODS, as well as preparative HPLC, were used for isolation and purification of target compounds. A variety of spectroscopic techniques, including high-resolution MS, 1D/2D NMR spectra, *etc.* were used for the structural identification of the isolated compounds. Results Thirteen compounds were isolated and identified, including a new malonylginsenoside: 3β ,12 β ,20*S*-dammarane-24-ene-3-*O*-[β -*D*-glucopyranoside (1→2)-(6-*O*-malonyl)-*O*- β -*D*-glucopyranosyl]-20-*O*-[β -*D*-glucopyranosyl(1→6)]-*O*- β -*D*-glucopyranoside (1), together with 12 known compounds, including 10 neutral ginsenosides: ginsenoside Rd (2), ginsenoside F₁ (3), ginsenoside Rb₁ (4), ginsenoside Rb₂ (5), ginsenoside Rb₃ (6), ginsenoside Rc (7), chikusetsusaponin L₅ (8), ginsenoside F₃ (9), notoginsenoside FP₂ (10), and notoginsenoside Fa (11), as well as two flavonoids: kaempferol-3-*O*- β -*D*-glucopyranosyl-(1→2)-*O*- β -*D*-galactopyranosyl-(1→2)-*O*- β -*D*-galactopyranosyl-(1→2)-*O*

Key words: flower buds of *Panax notoginseng*; ginsenoside; malonylfloralnotoginsenoside Rb₁; triterpenoid saponin; ginsenoside F₃

三七花为人参属五加科植物三七 Panax 七,又名田七,主要分布于我国云南、四川、广西、notoginseng (Burk.) F. H. Chen 的干燥伞形花序。三 西藏等地,是我国著名的补益中药之一。三七花作

基金项目: 国家自然科学基金面上项目(81872996)

作者简介:杨晓楠,硕士研究生,研究方向为中药与天然药物中新颖活性分子发现。E-mail: yangxiaonan2019@163.com

杨文志,研究员,博士生导师,研究方向为中药整体性质量控制方法。E-mail: wzyang0504@tjutcm.edu.cn

收稿日期: 2022-04-06

^{*}通信作者: 李 雪,助理研究员,研究方向为中药药效物质发现技术。E-mail: tjdxsyx@163.com

为民间药, 具有清热、平肝降压、生津止渴、活血 化瘀等功效[1]。此外,还有保健功能,用于茶饮和 菜肴等[2]。丙二酸酰化型人参皂苷是中性人参皂苷 发生丙二酸酰化而带有丙二酰基的一类皂苷,具有 热不稳定性,在治疗2型糖尿病和调血脂方面有一 定潜力[3-4]。为了合理开发三七花,充分利用三七资 源,本课题对三七花的化学成分进行深入研究,从 三七花中分离并鉴定了 13 个化合物,分别为 3β,12β,20S-达玛烷型四环三萜-24-烯-3-O-[β-D-吡喃 葡萄糖基(1→2)-(6-O-丙二酰基)-O-β-D-吡喃葡萄糖 基]-20-O-[β-D-吡喃葡萄糖基(1→6)]-O-β-D-吡喃葡 萄糖苷 (3 β ,12 β ,20S-dammarane-24-ene-3-O-[β -Dglucopyranoside $(1 \rightarrow 2)$ -(6-O-malonyl)-O- β -Dglucopyranosyl]-20-O-[β -D-glucopyranosyl($1 \rightarrow 6$)]-O-β-D-glucopyranoside , 1) 、人参皂苷 Rd (ginsenoside Rd, 2)、人参皂苷 F₁ (ginsenoside F₁, **3**)、人参皂苷 Rb₁ (ginsenoside Rb₁, **4**)、人参皂苷 Rb₂(ginsenoside Rb₂, **5**)、人参皂苷 Rb₃(ginsenoside Rb₃, 6)、人参皂苷 Rc (ginsenoside Rc, 7)、竹节 参皂苷 L₅ (chikusetsusaponin L₅, **8**)、人参皂苷 F₃ (ginsenoside F₃, **9**)、三七皂苷 FP₂ (notoginsenoside FP₂, **10**)、三七皂苷 Fa (notoginsenoside Fa, **11**)、 山柰酚-3-O-β-D-吡喃葡萄糖基-(1→2)-β-D-吡喃半 乳 糖 苷 [kaempferol-3-*O*-β-*D*-glucopyranoyl-(1→2)β-D-galactopyranoside, **12**]、槲皮素-3-O-β-D-吡喃葡 萄糖基-(1→2)-β-D-吡喃半乳糖苷 [quercetin-3-O-β-*D*-glucopyranosyl-(1→2)-β-*D*-galactopyranoside, **13**]. 其中, 化合物 1 是新化合物, 命名为丙二酰三七花 蕾皂苷 Rb1; 化合物 9 为首次从该植物中分离得到。

1 仪器与材料

BRUKER AVANCE III-500 和 600 型核磁共振波谱仪 (瑞士布鲁克公司); 离子淌度四极杆飞行时间质谱 (美国沃特世科技有限公司); Cary 60 紫外可见分光光度计 (美国安捷伦科技有限公司); AUTOPOL IV 自动旋光仪 (美国鲁道夫公司); Varian 傅立叶变换红外光谱仪 (美国赛默飞世尔科技有限公司); 安捷伦 1260 Infinity II高效液相色谱仪 (美国安捷伦科技有限公司); 吉尔森 GX-281 制备液相色谱仪 (美国吉尔森科技有限公司); Biotage Isolera One 快速制备液相色谱(上海拜泰齐贸易有限公司); 半制备柱为 YMC-Pack ODS-A (250 mm×10 mm, 5 μm)、Atlantis T3 OBD (250 mm×10 mm, 5 μm)、X-Bridge BEH Amide OBD (250 mm×10

mm, 5 μm); 正相柱色谱用硅胶 (100~200、200~300 目), 硅胶 GF₂₅₄薄层板 (青岛海洋化工有限公司); D101 大孔吸附树脂(天津海光化工有限公司); MCI gel CHP20 (日本三菱化学公司); ODS (日本YMC 公司); 分析纯试剂无水乙醇、醋酸乙酯、甲醇、正丁醇、乙腈等 (天津康科德科技有限公司)。

三七花于 2019 年 9 月购自于云南石林,经天津中医药大学李先宽副教授鉴定为五加科人参属植物三七 *P. notoginseng* (Burk.) F. H. Chen 的干燥花序,标本(PNF-20190912)存放于天津中医药大学省部共建组分中药国家重点实验室。

2 方法

2.1 提取与分离

干燥三七花 5 kg, 剪碎, 用 10 倍量 70%乙醇 水溶液超声提取 2 次,每次 2 h,温度不超过 40 ℃,减压浓缩至无醇味,冷冻干燥得到三七花总提物粉末 1.7 kg。取 1.6 kg 三七花总提物样品,以水溶解,用醋酸乙酯与水饱和正丁醇分别萃取 6 次,得到 3 个组分:醋酸乙酯萃取物 (A)约 120 g、正丁醇萃取物 (B) 476 g、水萃取物 (C) 937 g。

三七花水萃取物 C(100 g) 经硅胶柱色谱,二 氯甲烷-甲醇-水(8:1:0~0:1:1)梯度洗脱, 合并得到 6 个馏份 Fr. C1~6。Fr. C5(6g)经吉尔 森制备液相(203 nm,32%乙腈)分段,得到3个 子馏份 Fr. C5-A~C。Fr. C5-B(530 mg) 经半制备 高效液相制备纯化(203 nm, 28%乙腈, YMC-Pack ODS-A, 2.5 mL/min, t_R=22.5 min), 二次纯化 (203 nm, 83% 乙腈, X-Bridge BEH Amide OBD, 2.5 mL/min, t_R=15.2 min) 得到化合物 1 (10 mg)。正 丁醇萃取物 B(456 g)经 D101 大孔吸附树脂柱色 谱(水及10%、30%、40%、50%、70%、95%乙醇 梯度洗脱)得到9个组分B1~B9。Fr. B6(11 g) 经 MCI gel CHP 20P 柱色谱, 乙醇-水(10:90~95: 5) 梯度洗脱,得到 5 个馏份 Fr. B6-A~E。Fr. B6-E (165 mg) 经半制备液相分离纯化(203 nm, 40%乙 腈, Atlantis T3 OBD, 2.5 mL/min, t_R =18.2、20.5 min) 得到化合物 2 (19.4 mg)、3 (5 mg)。Fr. B6-D (210 mg)经半制备液相一次制备(203 nm, 63%甲醇, YMC-Pack ODS-A, 2.5 mL/min, t_R =80.1, 95.0, 120.0、130.5 min) 后二次制备(203 nm,80%乙腈, X-Bridge BEH Amide OBD, 2.5 mL/min, t_R =28.2 18.5、20.5、21.5 min), 分离纯化得到化合物 4 (20 mg), 5 (10 mg), 6 (20 mg), 7 (18 mg). Fr. B6-C

 $(1.7\,\mathrm{g})$ 经闪式色谱 ODS 柱色谱,甲醇-水(40:60~80:20)梯度洗脱,得到 5 个子馏份 Fr. B6-C1~5。 Fr. B6-C2(500 mg)经半制备高效液相制备纯化(203 nm,33%乙腈,Atlantis T3 OBD,2.5 mL/min, t_R =23.8、33.2 min)得化合物 **8**(30 mg)、**9**(15 mg)。 Fr. B6-C3(470 mg)经半制备液相一次制备(203 nm,98%甲醇,X-bridge BEH Amide OBD,2.5 mL/min, t_R =12.5、14.2 min),二次制备(203 nm,32%乙腈,YMC-Pack ODS-A,2.5 mL/min, t_R =30.0、40.5 min)得到化合物 **10**(20 mg)、**11**(15 mg)。 Fr. B4(10 g)经 MCI gel CHP 20P 柱色谱,乙醇-水(0:100~95:5)梯度洗脱得到 5 个馏份 Fr. B4-A~E。Fr. B4-D(500 mg)经半制备高效液相制备纯化(254 nm,13%乙腈,YMC-Pack ODS-A,2.5 mL/min, t_R =40.2、65.5 min)得化合物 **12**(20 mg)、**13**(15 mg)。

2.2 化合物 1 酸水解后糖构型的测定

精密称取化合物 12 mg 于反应瓶中,加入 5 mL 2 mol/L 的盐酸溶液,85 C 水浴加热 5 h。 水解液旋干,溶于 5 mL 的超纯水,加入等体积二氯甲烷萃取 3 次,水层减压蒸干后得到残渣。分别称取 D-葡萄糖、L-葡萄糖、D-木糖、L-木糖、L-阿拉伯糖各 2 mg,将残渣与称取的单糖标准品分别溶于 2 mL 的无水吡啶中,加入 2 mg L-半胱氨酸甲酯盐酸盐,60 C 水浴加热 1 h,之后加入 10 µL 邻甲苯异硫氰酸酯继续反应 1 h。

衍生物进行 HPLC 检测,分析条件如下: Waters XSelect CSH C_{18} 色谱柱(150 mm×3.0 mm,3.5 μm),流动相为 0.1%甲酸水(A)-乙腈(B),体积流量 0.6 mL/min,柱温为 35 ℃,紫外波长 250 nm,化合物 1 水解样品进样量 2 μL,单糖标准品进样量 1 μL。梯度洗脱条件: 0~20 min,20%B; 20~28 min,20%~95%B; 28~30 min,95%B; 30~31 min,95%~20%B; 31~39 min,20%B。通过保留时间比对,确定糖基的绝对构型。

3 结构鉴定

化合物 1: 白色粉末,易溶于甲醇。 $[\alpha]_D^{55}+5.90$ (c 0.23, MeOH); UV $\lambda_{\max}^{\text{MeOH}}$ (nm): 198.5 (0.4); IR v_{\max}^{KBr} (cm $^{-1}$): 3400, 2900, 2360, 1640, 1360, 1040。 (-) HR-ESI-MS 下分子离子峰 $[M-H]^{-}$ m/z 1 193.596 7 (计算值 $[M-H]^{-}$ m/z 1 193.596 1),推测其相对分子质量为 1194。结合 1 H、 13 C-NMR 数据推测其分子式为 C_{57} H₉₄O₂₆,其母离子裂解,连续中性丢失丙二酰基和 4 个葡萄糖基,生成碎片 m/z 1 149.609 1、1 107.596 3、945.544 7、783.491 3、621.437 8 和原

人参二醇型皂苷元离子碎片 459.384 0, 提示其结构 可能是含有1个丙二酰基与4个葡萄糖基的原人参 二醇型皂苷[5]。13C-NMR 谱中高场区显示 30 个碳信 号(包括8个甲基碳、8个亚甲基碳、9个次甲基碳 和 5 个季碳信号),结合 'H-NMR 谱中 8 个特征单 峰甲基氢信号 $\delta_{\rm H}$ 0.96 (H-18)、0.82 (H-19)、1.66 (H-21), 1.62 (H-26), 1.67 (H-27), 1.28 (H-28), 1.09 (H-29)、0.94 (H-30),2 个原人参二醇连氧氢信号 δ_H 3.26 (dd, J = 12.0、4.3 Hz, H-3), 4.18 (m, H-12),确 定该化合物为原人参二醇型达玛烷三萜皂苷。 HMBC 谱中显示 $\delta_{\rm H}$ 1.66 (3H, s, H-21) 和 $\delta_{\rm C}$ 36.2 (C-22) 的相关信号、 $\delta_{\rm H}$ 1.67 (3H, s, H-27) 和 $\delta_{\rm C}$ 131.1 (C-25)、 $\delta_{\rm C}$ 126.0 (C-24) 的相关信号、 $\delta_{\rm H}$ 1.62 (3H, s, H-26) 和 δ_C 131.1 (C-25)、 δ_C 126.0 (C-24) 的 相关信号;并且, 1 H- 1 H COSY 谱中显示 δ_H 1.85、 2.40 (m, H-22) 和 2.38、2.61 (m, H-23) 以及 2.38、 2.61 (m, H-23) 和 5.32 (m, H-24) 之间的相关信号, 确定了皂苷元母核中 C17 侧链的连接位置及结构。

核磁数据中除 ¹³C-NMR 谱中碳信号化学位移 $\delta_{\rm C}$ 43.2 (C-2""), 75.3 (C-5'), 65.0 (C-6'), 168.6 (C-1"""), 169.9 (C-3"""), ¹H-NMR 谱中氢信号化学位 移 $\delta_{\rm H}$ 3.80 (H-2"""), 0.94、1.72 (H-1), 4.86、5.06 (H-6") 外,其余数据与文献报道的人参皂苷 Rb₁ 的核磁数 据基本一致[6], ¹H-NMR 谱中显示 4 个糖端基质子 信号 $\delta_{\rm H}$ 4.88 (d, J = 7.2 Hz, H-1'), 5.36 (d, J = 7.8 Hz, H-1"), 5.13 (d, J = 7.8 Hz, H-1""), 5.10 (d, J = 7.2 Hz, H-1""); 13 C-NMR 谱中显示 4 个糖端基碳信号 $\delta_{\rm C}$ 105.0 (C-1'), 106.1 (C-1"), 98.1 (C-1"'), 105.4 (C-1""), 化学位移和偶合常数证明化合物 1 中存在 和人参皂苷 Rb_1 一样的 $4 \land β-D$ 吡喃葡萄糖基[6-7]。 为了解决糖基氢信号重叠严重易致核磁数据归属困 难问题,进行了 HSOC-TOCSY 实验,在 HSOC-TOCSY 谱中,观察到 $\delta_{\rm H}$ 4.88 (d, J = 7.2 Hz, H-1') 与 $\delta_{\rm C}$ 105.0 (C-1'), 83.5 (C-2'), 78.0 (C-3'), 71.3 (C-4'), $\delta_{\rm H}$ 4.86, 5.06 (m, H-6') $\stackrel{1}{\Rightarrow}$ $\delta_{\rm C}$ 71.3 (C-4'), 75.3 (C-5'), 65.0 (C-6') 的相关信号, $\delta_{\rm H}$ 5.36 (d, J = 7.8 Hz, H-1") 与 $\delta_{\rm C}$ 106.1 (C-1"), 77.1 (C-2"), 78.4 (C-3"), 71.6 (C-4"), $\delta_{\rm H}$ 4.38,4.53(m,H-6") 与 $\delta_{\rm C}$ 71.6(C-4"), 78.4 (C-5"), 62.7 (C-6") 的相关信号, $\delta_{\rm H}$ 5.13 (d, J= 7.8 Hz, H-1"") 与 $\delta_{\rm C}$ 98.1 (C-1""), 74.6 (C-2""), 78.4 (C-3"'), 71.7 (C-4"'), $\delta_{\rm H}$ 4.33, 4.73 (m, H-6"') 与 $\delta_{\rm C}$ 71.7 (C-4"'), 77.1 (C-5"'), 70.3 (C-6"') 的相关信号, $\delta_{\rm H}$ 5.10 (d, J = 7.2 Hz, H-1"") $= \delta_{\rm C}$ 105.4 (C-1""),

74.9 (C-2""), 78.0 (C-3""), 71.6 (C-4""), $\delta_{\rm H}$ 4.37, 4.50 (m, H-6"") 与 $\delta_{\rm C}$ 71.6 (C-4""), 79.3 (C-5""), 62.8 (C-6"") 的相关信号,从而归属了化合物结构中糖基部分碳氢信号。此外,HMBC 谱显示 $\delta_{\rm H}$ 4.88 (d, J = 7.2 Hz, H-1') 与 $\delta_{\rm C}$ 89.3 (C-3)、 $\delta_{\rm H}$ 5.36 (d, J = 7.8 Hz, H-1") 与 $\delta_{\rm C}$ 83.5 (C-2')、 $\delta_{\rm H}$ 5.13 (d, J = 7.8 Hz, H-1"") 与 $\delta_{\rm C}$ 83.2 (C-20) 以及 $\delta_{\rm H}$ 5.10 (d, J = 7.2 Hz, H-1"") 与 $\delta_{\rm C}$ 70.3 (C-6"") 的远程相关信号,提示糖基与苷元的连接位置、糖链上糖基之间的连接位置和顺序。

与人参皂苷 Rb_1 相比 $^{[6]}$,核磁谱图中多出 2 个 羰基碳(δ_C 168.6、169.9)和 1 个亚甲基信号[δ_C 43.2/ δ_H 3.80 (2H, m)],HMBC 谱中 δ_H 3.80/ δ_C 168.6 和 δ_H 3.80/ δ_C 169.9 的相关信号证实其含有丙二酰取代基。HMBC 谱中 δ_H 4.86 (m, H-6') 和 δ_C 168.6

(C-1""") 的相关信号证实其丙二酰化位点位于皂苷元母核 3 位连接葡萄糖的 6′-OH 处,因丙二酰基取代, $\delta_{\rm C}$ C-5′向高场偏移 2.8, $\delta_{\rm C}$ C-6′向低场偏移 2.2, $\delta_{\rm H}$ H-6′分别向低场偏移 0.45, $\delta_{\rm H}$ H-1 分别向低场偏移 0.20^[6]。 $^{\rm l}$ H- $^{\rm l}$ H COSY 谱中 $\delta_{\rm H}$ 4.86、5.06 (m, H-6′) 和 $\delta_{\rm H}$ 4.05 (m, H-5′) 的相关信号,以及 NOESY 谱中 $\delta_{\rm H}$ 4.86 (m, H-6′) 与 $\delta_{\rm H}$ 3.26 (dd, J=12.0、7.8 Hz, H-3) 的相关信号,丙二酰基中亚甲基质子信号 $\delta_{\rm H}$ 3.80 (2H, m) 与 $\delta_{\rm H}$ 0.94、1.72 (m, H-1) 的弱相关信号,也可证明其丙二酰取代基连接在 3 位连接葡萄糖的 6′-OH 处。综合一维和二维核磁谱图解析,化合物 1 的碳氢归属如表 1 所示。

化合物 **1** 的相对构型(图 1)通过 NOESY 谱确定。 $\delta_{\rm H}$ 3.26 (dd, J = 4.3, 12.0 Hz, H-3),糖端基质

表 1 化合物 1 的 1 H-NMR (600 MHz) 和 13 C-NMR (150 MHz) 数据 (C₅D₅N) Table 1 1 H-NMR (600 MHz) and 13 C-NMR (150 MHz) data of compound 1 (C₅D₅N)

碳位	$\delta_{ m C}$	$\delta_{ m H}$	碳位	$\delta_{ m C}$	$\delta_{ m H}$
1	39.2	0.94 (m), 1.72 (m)	3-O-glc		
2	26.6	1.36 (m), 1.86 (m)	1′	105.0	4.88 (d, J = 7.2 Hz)
3	89.3	3.26 (dd, J = 4.3, 12.0 Hz)	2′	83.5	4.20 (m)
4	40.1		3′	78.0	4.26 (m)
5	56.5	0.71 (m)	4′	71.3	4.03 (m)
6	18.5	1.35 (m), 1.47 (m)	5′	75.3	4.05 (m)
7	35.1	1.21 (m), 1.46 (m)	6′	65.0	4.86 (m), 5.06 (m)
8	39.7		2'- <i>O</i> -glc		
9	50.2	1.41 (m)	1"	106.1	5.36 (d, J = 7.8 Hz)
10	37.0		2"	77.1	4.07 (m)
11	30.9	1.56 (m), 2.04 (m)	3"	78.4	3.94 (m)
12	70.2	4.18 (m)	4"	71.6	4.23 (m)
13	49.5	2.00 (m)	5"	78.4	3.94 (m)
14	51.4		6"	62.7	4.38 (m), 4.53 (m)
15	30.7	0.99 (m), 1.56 (m)	20- <i>O</i> -glc		
16	26.8	1.87 (m), 2.27 (m)	1′′′	98.1	5.13 (d, J = 7.8 Hz)
17	51.7	2.58 (m)	2'''	74.6	4.01 (m)
18	16.1	0.96 (3H, s)	3′′′	78.4	4.25 (m)
19	16.3	0.82 (3H, s)	4′′′	71.7	4.07 (m)
20	83.2		5′′′	77.1	4.13 (m)
21	22.4	1.66 (3H, s)	6′′′	70.3	4.33 (m), 4.73 (d, $J = 10.8$ Hz)
22	36.2	1.85 (m), 2.40 (m)	6'''- <i>O</i> -glc		
23	23.3	2.38 (m), 2.61 (m)	1''''	105.4	5.10 (d, J = 7.2 Hz)
24	126.0	5.32 (m)	2''''	74.9	3.92 (m)
25	131.1		3''''	78.0	4.26 (m)
26	25.8	1.62 (3H, s)	4''''	71.6	4.35 (m)
27	18.0	1.67 (3H, s)	5''''	79.3	4.18 (m)
28	28.2	1.28 (3H, s)	6''''	62.8	4.37 (m), 4.50 (m)
29	16.7	1.09 (3H, s)	1'''''	168.6	
30	17.4	0.94 (3H, s)	2'''''	43.2	3.80 (2H, m)
			3''''	169.9	

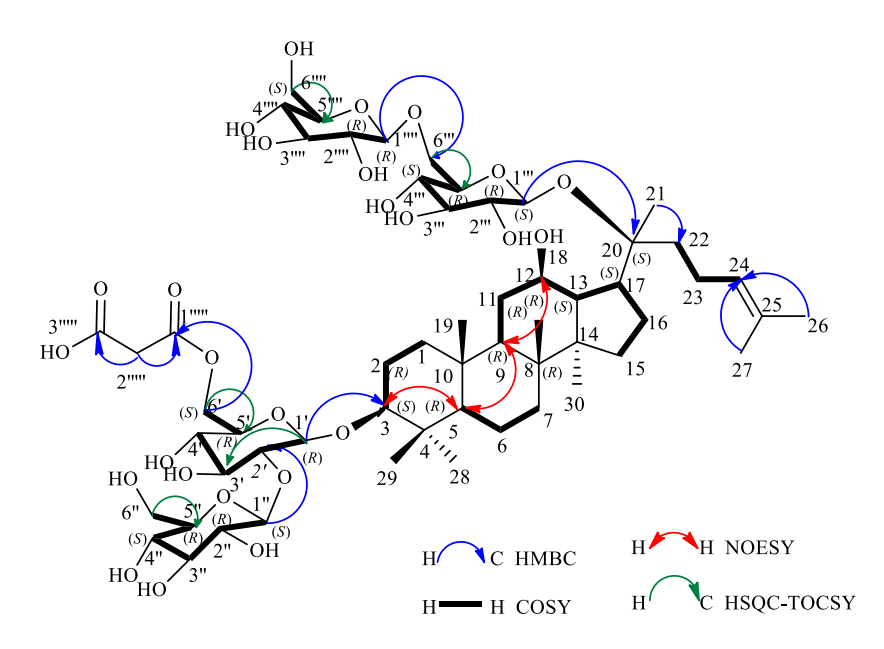


图 1 化合物 1 的主要 HMBC、¹H-¹H COSY、NOESY 和 HSQC-TOCSY 相关 Fig. 1 Key HMBC, ¹H-¹H COSY, NOESY and HSQC-TOCSY correlations of compound 1

子信号 $\delta_{\rm H}$ 4.88 (d, J = 7.2 Hz, H-1'),其化学位移和偶合常数值,证明 3 位苷键为 β 构型^[7]。NOESY 谱中 $\delta_{\rm H}$ 0.71 (m, H-5) 与 $\delta_{\rm H}$ 1.28 (3H, s, H-28), 1.41 (m, H-9), 3.26 (dd, J = 4.3, 12.0 Hz, H-3) 的相关信号, $\delta_{\rm H}$ 0.94 (3H, s, H-30) 与 $\delta_{\rm H}$ 1.41 (m, H-9), 2.58 (m, H-17), 4.18 (m, H-12) 的相关信号, $\delta_{\rm H}$ 1.09 (3H, s, H-29) 与 $\delta_{\rm H}$ 0.82 (3H, s, H-19) 的相关信号, $\delta_{\rm H}$ 0.96 (3H, s, H-18) 与 $\delta_{\rm H}$ 0.82 (3H, s, H-19), 2.00 (m, H-13) 的相关信号,确定了苷元的相对构型^[8-9]。

在衍生化后测定的 HPLC 色谱图中,D-葡萄糖、L-葡萄糖、D-木糖、L-木糖、L-阿拉伯糖衍生化物的保留时间分别为 15.44、13.99、17.92、17.18 和 17.45 min,化合物 1 酸水解液衍生化物在 15.45 min 给出明显的色谱峰。据此,化合物 1 中 4 个糖基的绝对构型鉴定为 D-葡萄糖。综合上述信息,化合物 1 鉴定为3 β ,12 β ,20S-达玛烷型四环三萜-24-烯-3-O- [β -D-吡喃葡萄糖基($1\rightarrow 2$)-(6-O-丙二酰基)-O- β -D-吡喃葡萄糖苷,经 SciFinder 检索,为 1 个新的皂苷类化合物,命名为丙二酰三七花蕾皂苷 Rb_1 , 其结构如图 1 所示。

化合物 2: 白色粉末,易溶于甲醇。 (-)HR-ESI-MS 下分子离子峰 [M+HCOO]-为 m/z 991.546 7,推测其相对分子质量为 946; 母离子裂解生成碎片 m/z 945.541 4、783.488 9、621.436 3、459.384 4,提示 3 个葡萄糖基的碎片丢失并产生原人参二醇型皂苷元特征离子碎片,其结构可能为原

人参二醇型皂苷母核连接3个葡萄糖,并结合 'H-、 ¹³C-NMR 数据确定分子式为 C₄₈H₈₂O₁₈。 ¹H-NMR 谱中,高场区给出8个角甲基特征单峰质子信号: $\delta_{\rm H}$ 0.80、0.94、0.96、1.12、1.29、1.60 (6H)、1.64,低 场区给出 1 个烯氢信号 $\delta_{\rm H}$ 5.30 (m, H-24), 2 个连氧 氢信号 $\delta_{\rm H}$ 3.28 (dd, J = 4.2, 12.0 Hz, H-3), 4.04 (m, H-12), 结合 13 C-NMR 谱中 1 个双键碳信号 δC 126.2 (C-24), 131.2 (C-25) 和 2 个特征碳信号 $\delta_{\rm C}$ 56.0 (C-5), 28.0 (C-28), 确认其为原人参二醇型皂苷。 13 C-NMR 谱中显示 3 个糖端基碳信号 δ_{C} 105.4 (C-1'), 106.3 (C-1"), 98.6 (C-1"), 结合 ¹H-NMR 谱中 2 个糖端基质子信号 $\delta_{\rm H}$ 4.94 (d, J = 7.2 Hz), 5.41 (d, J = 7.2 Hz),另一个糖端基质子信号被水峰覆盖, 证实该化合物含3个葡萄糖基,且有1个葡萄糖基 与苷元在 C-20 位结合。其波谱数据与文献报道化合 物人参皂苷 Rd 一致[6], 因此被鉴定为人参皂苷 Rd, 其 ¹³C-NMR 数据见表 2。

化合物 **3**: 白色粉末,易溶于甲醇。 (-)HR-ESI-MS 下分子离子峰 [M+HCOO]-为 m/z 683.445 5,推测其相对分子质量为 638,母离子裂解生成碎片 m/z 637.432 7、475.380 1,出现原人参三醇型皂苷元碎片离子,显示 1 个葡萄糖基的中性丢失,提示化合物结构可能为原人参三醇皂苷元连接 1 个葡萄糖,结合 1 H-、 13 C-NMR 数据确定其分子式为 C_{36} H $_{62}$ O $_{9}$ 。 1 H-NMR 谱中的 2 个连氧氢信号 δ_{H} 3.51 (dd, J = 4.8, 12.0 Hz, H-3), 3.93 (m, H-12)和 8

表 2 化合物 2~11 的 ¹³C-NMR 数据 (150 MHz, C₅D₅N)
Table 2 ¹³C-NMR data of compounds 2—11 (150 MHz, C₅D₅N)

碳位	2	3	4	5	6	7	8	9	10	11
1	39.4	39.7	39.1	39.2	39.2	39.0	39.4	39.3	39.4	39.3
2	26.9	28.5	26.7	26.6	26.6	25.7	28.1	28.1	26.9	26.9
3	89.2	78.7	88.9	89.0	88.9	88.9	78.3	78.4	89.3	89.1
4	40.0	40.7	39.9	39.6	39.7	39.6	40.4	40.3	40.0	39.9
5	56.6	62.1	56.3	56.3	56.3	56.2	61.7	61.7	56.6	56.5
6	18.7	68.0	18.3	18.4	18.4	18.3	67.8	67.7	18.7	18.6
7	35.4	47.8	35.0	35.1	35.1	35.0	47.4	47.4	35.3	35.3
8	40.3	41.5	39.6	40.0	40.0	39.9	41.2	41.1	40.2	40.2
9	50.4	49.4	50.1	50.2	50.2	50.1	49.9	49.8	50.4	50.3
10	37.1	39.7	36.8	36.8	36.9	36.8	39.4	39.3	37.1	37.0
11	31.1	31.1	30.7	30.8	30.8	30.7	30.8	30.6	30.9	30.9
12	70.5	70.5	70.1	70.1	70.2	70.2	69.7	70.1	71.0	70.3
13	49.7	50.2	49.4	49.4	49.5	49.3	49.1	49.1	49.6	49.6
14	51.7	51.7	51.5	51.4	51.4	51.3	51.4	51.3	51.7	51.5
15	31.0	31.2	30.6	30.7	30.7	30.6	30.8	30.7	30.9	30.9
16	27.0	26.9	26.5	26.7	26.8	26.5	26.7	26.6	27.0	26.8
17	52.0	51.9	51.3	51.6	51.6	51.5	51.5	51.5	51.8	51.7
18	16.2	18.1	15.9	16.0	16.0	15.9	17.7	17.4	16.5	16.1
19	16.6	17.9	16.2	16.2	16.3	16.2	18.0	17.4	16.2	16.4
20	83.6	83.6	83.2	83.3	83.5	83.4	83.6	83.4	83.7	83.6
21	22.7	22.7	22.3	22.2	22.3	22.3	22.2	22.2	22.6	22.5
22	36.4	36.4	36.1	36.1	36.2	36.1	36.2	36.1	36.4	36.3
23	23.6	23.5	23.1	23.1	23.2	23.1	23.2	23.1	23.4	23.4
24	126.2	126.3	125.9	125.9	126.0	125.9	125.9	125.9	126.3	126.1
25	131.2	131.3	131.0	130.9	131.1	131.0	131.3	131.1	131.3	131.3
26	26.1	26.1	25.8	25.7	25.8	26.7	25.9	25.8	26.1	26.0
27	18.1	17.8	17.9	17.9	17.9	17.8	17.5	17.8	18.1	18.1
28	28.4	32.3	28.0	28.0	28.1	28.0	32.0	31.9	28.3	28.2
29	16.9	16.9	16.5	16.5	16.6	16.5	16.6	16.5	16.9	16.8
30	17.6	17.7	17.3	17.4	17.4	17.3	17.5	17.6	17.6	17.6
1′	105.4	98.6	105.1	105.0	105.2	105.1	98.0	98.1	105.1	105.0
2'	83.6	75.5	83.4	83.4	83.5	83.3	74.8	74.8	82.9	82.9
3'	78.6	79.7	77.9	78.1	78.2	78.3	79.2	79.3	78.9	78.8
4′	71.9	71.9	71.4	71.0	71.6	71.5	71.6	72.1	71.4	71.3
5′	78.5	78.8	78.1	77.0	78.0	78.1	76.8	76.8	78.6	78.4
6′	63.1	63.2	62.5	62.8	62.9	62.8	70.2	69.2	63.1	62.9
1"	106.3		105.9	105.9	106.1	106.0	105.1	104.7	103.3	103.2
2"	77.5		77.1	76.8	77.3	77.1	72.8	71.7	84.8	84.6
3"	79.5		79.2	77.9	78.4	77.9	73.9	74.1	78.2	78.0
4"	71.8		71.6	71.6	71.8	71.5	78.5	68.7	71.9	71.8
5"	78.2		78.3	78.2	78.4	78.3	65.8	65.7	78.0	78.0
6"	63.0		62.7	62.7	62.6	62.5			62.9	63.1
1′′′	98.6		98.0	98.0	98.2	98.0	106.9		106.7	106.6
2'''	75.5		74.8	74.7	74.9	75.0	75.4		76.2	76.1
3′′′	78.7		78.3	79.2	79.3	79.2	78.8		78.0	78.0

续表 2										
碳位	2	3	4	5	6	7	8	9	10	11
4′′′	71.9		71.5	71.6	71.6	72.0	71.0		70.5	70.8
5′′′	78.6		77.0	76.8	76.8	76.5	67.3		67.7	67.5
6′′′	62.9		70.1	69.9	69.2	68.4				
1''''			105.3	105.7	104.8	110.1			98.3	98.2
2""			75.2	74.8	72.2	83.4			75.3	75.0
3''''			78.4	78.0	74.2	78.7			79.5	79.4
4''''			71.5	71.5	68.7	85.8			72.3	71.6
5''''			79.2	66.8	65.8	62.7			76.8	77.2
6''''			62.8						68.8	70.3
1'''''									110.4	105.5
2'''''									83.7	75.4
3'''''									79.0	78.5
4'''''									86.1	71.3
5'''''									63.0	78.6
6'''''										62.9

个甲基氢信号 $\delta_{\rm H}$ 0.95、0.98、1.06、1.45、1.57 (6H)、1.61、1.99,结合 ¹³C-NMR 谱中低场区 1 个双键碳信号 $\delta_{\rm C}$ 126.3 (C-24), 131.3 (C-25),证实其为原人参三醇型皂苷。 ¹³C-NMR 谱中显示 1 个糖端基碳信号 $\delta_{\rm C}$ 98.6 (C-1'),提示是与 C-20 位结合的 β 型葡萄糖基。其波谱数据与文献报道 [10]对照,鉴定为人参皂苷 $\Gamma_{\rm I}$,其 ¹³C-NMR 数据见表 2。

化合物 4: 白色粉末, 易溶于甲醇。 (-)HR-ESI-MS 下分子离子峰 [M+HCOO] 为 m/z 1 153.601 0, 推测其相对分子质量为 1108; 母离子 裂解成碎片离子有 m/z 1 107.595 0、945.542 4、 783.489 9、621.437 8、459.384 2,显示化合物在质 谱中发生连续 4 个葡萄糖的裂解丢失,并产生原人 参二醇型皂苷元的特征碎片离子,提示其结构可能 为原人参二醇型皂苷元结合 4 个葡萄糖基,结合 ¹H-、¹³C-NMR 数据确定其分子式为 C₅₄H₉₂O₂₃。 1 H-NMR 谱中显示 2 个连氧氢信号 $\delta_{\rm H}$ 3.27 (dd, J=4.2, 11.4 Hz, H-3), 4.28 (m, H-12),1 个烯氢信号 $\delta_{\rm H}$ 5.32 (m, H-24),8 个甲基氢信号 $\delta_{\rm H}$ 0.81、0.96 (6H)、 1.11、1.28、1.61、1.66,结合 13 C-NMR 谱中 $\delta_{\rm C}$ 56.3 (C-5), 28.0 (C-28), 低场区 1 个双键碳信号 $\delta_{\rm C}$ 125.9 (C-24), 131.0 (C-25), 证实该化合物为原人参二醇型 皂苷; ¹H-NMR 谱中显示 4 个 β 型糖端基质子信号 $\delta_{\rm H}$ 4.93 (d, J=7.2 Hz, H-1'), 5.08 (d, J=7.6 Hz, H-1""), 5.12 (d, J = 7.8 Hz, H-1""), 5.33 (d, J = 7.8Hz, H-1"), 13C-NMR 谱中显示 4 个 β 型葡萄糖端基碳

信号 $\delta_{\rm C}$ 105.1 (C-1'), 105.9 (C-1"), 105.3 (C-1""), 98.0 (C-1"")。其波谱数据与文献报道化合物人参皂苷 ${\rm Rb_1}$ 数据对比基本一致 ${\rm [o]}$,故将化合物 4 鉴定为人参皂苷 ${\rm Rb_1}$,其 ${\rm ^{13}C\text{-}NMR}$ 数据见表 2。

化合物 5: 白色粉末,易溶于甲醇。(-) HR-ESI-MS 下分子离子峰 [M+HCOO] 为 m/z 1 123.588 5, 推测 其相对分子质量为 1078; 母离子裂解生成碎片 m/z 1 077.582 1, 945.540 6, 783.487 8, 621.437 8, 459.384 5, 发生 3 个葡萄糖和 1 个五碳糖的中性丢 失,生成原人参二醇型皂苷元的产物离子,提示其 结构可能为原人参二醇型皂苷连接 3 个葡萄糖和 1 个五碳糖,结合 ¹H-、¹³C-NMR 数据确定其分子式 为 C₅₃H₉₀O₂₂。 ¹H-NMR 谱中显示 2 个原人参二醇连 氧氢信号 $\delta_{\rm H}$ 3.27 (d, J = 11.4 Hz, H-3), 4.14 (m, H-12),8 个特征单峰甲基氢信号 $\delta_{\rm H}$ 0.80、0.94、0.98、 1.10、1.27、1.61、1.65 (6H), 证实化合物为原人参 二醇型皂苷。¹H-NMR 谱中显示 3 个 β 型糖端基质 子信号 $\delta_{\rm H}$ 4.92 (d, J = 6.6 Hz, H-1'),5.11 (d, J = 7.6 Hz, H-1"), 5.32 (d, J=7.8 Hz, H-1"") 和 1 个五碳糖 的糖端基氢信号 4.98 (d, J = 7.2 Hz, H-1""), 结合 13 C-NMR 谱中 4 个糖端基碳信号 δc 105.0 (C-1'), 105.9 (C-1"), 105.7 (C-1""), 98.0 (C-1""), 其中, $\delta_{\rm C}$ 105.7 (C-1'''), 74.8 (C-2''''), 71.5 (C-4'''') 为吡喃型 阿拉伯糖的特征信号,确定化合物连接糖基的数目 和类型。经与文献报道[6]对照,鉴定为人参皂苷 Rb₂, 其 ¹³C-NMR 数据见表 2。

化合物 6: 白色粉末, 易溶于甲醇。 (-)HR-ESI-MS 下分子离子峰 [M+HCOO] 为 m/z 1 123.589 1, 推测其相对分子质量为 1078; 其裂解 生成碎片 m/z 1 077.583 4、945.542 2、783.489 1、 621.436 4、459.384 2,产生 1 个原人参二醇型皂苷 元特征离子 m/z 459.384 2, 发生 3 个葡萄糖和 1 个 五碳糖的中性丢失,推断化合物为连有3个葡萄糖 基和 1 个五碳糖基的原人参二醇型皂苷, 结合 'H-、 ¹³C-NMR 数据确定其分子式为 C₅₃H₉₀O₂₂。 ¹H-NMR 谱中, $\delta_{\rm H}$ 3.27 (dd, J=4.8, 12.0 Hz, H-3), 4.08 (m, H-12),8 个特征单峰甲基氢信号 $\delta_{\rm H}$ 0.81、0.95、0.96、 1.12、1.29、1.62、1.66 (6H), 提示该化合物为原人 参二醇型皂苷。¹H-NMR 谱中 3 个 β 型糖端基质子 信号 $\delta_{\rm H}$ 4.95 (d, J = 7.2 Hz, H-1'), 5.33 (d, J = 7.2 Hz, H-1"), 5.03 (d, J = 6.0 Hz, H-1"") 和 1 个五碳糖端基 质子信号 4.73 (d, J = 11.4 Hz, H-1""), 结合 ¹³C-NMR 谱中 4 个糖端基碳信号位移 $\delta_{\rm C}$ 105.2 (C-1), 106.1 (C-1"), 104.8 (C-1""), 98.2 (C-1""), 确定化合物 6 连接3个β型葡萄糖和1个木糖,其13C-NMR数据 见表 2。经与文献数据[11]对照,鉴定为人参皂苷 Rb3。

化合物 7: 白色粉末, 易溶于甲醇。(-) HR-ESI-MS 下分子离子峰 [M-H]-为 m/z 1 077.585 2, 推测相对 分子质量为1078。母离子进一步裂解,丢失3个葡萄 糖基和 1 个五碳糖基,得到碎片离子 m/z 945.541 7、 783.488 9、621.462 8 和原人参二醇型皂苷特征产物 离子 459.385 6, 推断化合物为含有 3 个葡萄糖基和 1 个五碳糖基的原人参二醇型皂苷,结合 'H-、 ¹³C-NMR 数据确定其分子式为 C₅₃H₉₀O₂₂。 ¹H-NMR 谱中显示 2 个原人参二醇连氧氢信号 $\delta_{\rm H}$ 3.27 (dd, J=4.8, 12.0 Hz, H-3), 4.09 (m, H-12), 1 个烯氢信号 $\delta_{\rm H}$ 5.33 (m, H-24),8 个甲基氢信号 $\delta_{\rm H}$ 0.81、0.95、 0.97、1.12、1.29、1.62、1.66 (6H),结合 ¹³C-NMR 谱中 1 个双键碳信号 $\delta_{\rm C}$ 125.9 (C-24), 131.0 (C-25), 证实化合物是原人参二醇型皂苷。¹H-NMR 中显示 3 个 β 型糖端基质子信号 $\delta_{\rm H}$ 4.95 (d, J=7.2 Hz, H-1'), 5.12 (d, J = 7.6 Hz, H-1"'), 5.33 (d, J = 7.2 Hz, H-1'') 及 1 个五碳糖端基氢信号 5.64 (d, J=1.3 Hz, H-1""), 13 C-NMR 谱中显示 4 个糖端基碳信号 $\delta_{\rm C}$ $105.1 \text{ (C-1')}, \ 106.0 \text{ (C-1'')}, \ 110.1 \text{ (C-1'''')}, \ 98.0 \text{ (C-1''')}$ 其波谱数据与文献报道6对照,鉴定化合物7为人参 皂苷 Rc, 其 ¹³C-NMR 数据见表 2。

化合物 8: 白色粉末,易溶于甲醇。 (-)HR-ESI-MS 下分子离子峰 [M+HCOO]⁻为 m/z 947.521 8, 推测其相对分子质量为 902, 母离子裂 解发生2个五碳糖和1个葡萄糖的中性丢失,生成 二级碎片离子 m/z 901.516 8、769.474 5、637.433 1 和原人参三醇型皂苷元特征产物离子 m/z 475.379 6, 推测其结构可能为含2个五碳糖和1个葡萄糖的原 人参三醇型皂苷,结合 ¹H-、¹³C-NMR 数据确定其 分子式为 $C_{46}H_{78}O_{17}$ 。 ${}^{1}H$ -NMR 谱中的 2 个原人参三 醇连氧氢信号 $\delta_{\rm H}$ 3.52 (d, J = 5.4 Hz, H-3), 4.27 (m, H-12),1 个烯氢信号 $\delta_{\rm H}$ 5.31 (t, J = 7.0 Hz, H-24), 8 个甲基氢信号 $\delta_{\rm H}$ 0.99 (6H)、1.07、1.45、1.62 (6H)、 1.65、1.98, 13 C-NMR 谱中的特征碳信号 $\delta_{\rm C}$ 61.7 (C-5), 32.0 (C-28), 提示化合物为原人参三醇型皂 苷。 13 C-NMR 谱中显示 3 个糖端基碳信号 $\delta_{\rm C}$ 98.0 (C-1'), 105.1 (C-1"), 106.9 (C-1""), 结合 ¹H-NMR 谱 中 1 个 β 型糖端基质子信号 $\delta_{\rm H}$ 5.12 (d, J = 7.5 Hz, H-1'),2 个五碳糖端基质子信号 4.93 (d, J=6.5 Hz, H-1"), 5.14 (d, J=7.5 Hz, H-1""), 确定化合物结构为 原人参三醇型皂苷元连接1个木糖,1个吡喃型阿拉 伯糖和1个β型葡萄糖。其波谱数据与文献报道[12] 对照,鉴定化合物 8 为竹节参皂苷 L₅,其 ¹³C-NMR 数据见表 2。

化合物 9: 白色粉末,易溶于甲醇。 (-)HR-ESI-MS 下分子离子峰 [M-H]⁻为 m/z 769.474 4, 推测其相对分子质量为 770, 母离子裂 解生成的二级碎片离子为 m/z 为 637.430 8、475.380 1, 连续中性丢失1个五碳糖和1个葡萄糖并产生原人 参三醇型皂苷元特征产物离子,推测化合物结构为 原人参三醇型皂苷连接 2 个葡萄糖基,结合 ¹H-、 ¹³C-NMR 数据确定其分子式为 C₄₁H₇₀O₁₃。 ¹H-NMR 谱中显示 2 个原人参三醇连氧氢信号 $\delta_{\rm H}$ 3.54 (dd, J = 3.0, 10.2 Hz, H-3), 3.97 (m, H-12), 高场区中8 个特征单峰甲基氢信号 $\delta_{\rm H}$ 0.98、1.02 (6H)、1.10、 1.48、1.63、1.65、1.67,结合 ¹³C-NMR 谱中皂苷元 的双键碳信号 $\delta_{\rm C}$ 125.9 (C-24),131.3 (C-25),确定 化合物为原人参三醇型皂苷。13C-NMR 谱中显示 2 个糖端基碳信号 $\delta_{\rm C}$ 98.1 (C-1'),104.7 (C-1"),结合 1 H-NMR 谱中 1 个 β 型糖端基质子信号 $\delta_{\rm H}$ 5.03 (d, J = 6.0 Hz, H-1'),1 个五碳糖端基氢信号 δ _H 4.73 (d, J = 7.0 Hz, H-1"),确定原人参三醇型皂苷元连接 1 个吡喃型阿拉伯糖和1个葡萄糖。经与文献数据[13] 对照,鉴定化合物 9 为人参皂苷 F₃,其 ¹³C-NMR 数据见表 2。

化合物 10: 白色粉末, 易溶于甲醇。(-)HR-ESI-

MS 下分子离子峰 [M+HCOO] 为 m/z 1 255.631 5, 推测其相对分子质量为1210,质谱中裂解时连续 丢失2个五碳糖和3个葡萄糖,生成碎片离子 m/z 1 077.584 1, 945.542 5, 783.489 6, 621.435 9, 459.387 2,以此推断化合物为连有 2 个五碳糖基和 3 个葡萄糖基的原人参二醇型皂苷,结合 'H-、 ¹³C-NMR 数据确定其分子式为 C₅₈H₉₈O₂₆。 ¹H-NMR 谱中, 高场区给出 8 个角甲基特征单峰质子信号: $\delta_{\rm H}$ 0.79、0.95、1.00、1.09、1.27、1.61、1.66 (6H), 低 场区有 1 个烯氢信号 $\delta_{\rm H}$ 5.31 (m, H-24), 2 个连氧氢 信号 $\delta_{\rm H}$ 3.29 (d, J = 11.4 Hz, H-3), 4.08 (m, H-12), 结 合 13 C-NMR 谱中特征碳信号 $δ_{\rm C}$ 56.6 (C-5), 28.3 (C-28), 提示其为原人参二醇型皂苷。13C-NMR 谱 中显示 5 个糖端基碳信号 $\delta_{\rm C}$ 105.1 (C-1), 103.3 (C-1"), 106.7 (C-1""), 98.3 (C-1""), 110.4 (C-1"""), 1 H-NMR 谱中显示 3 个 β 型糖端基质子信号 $\delta_{\rm H}$ 4.94 (d, J = 6.6 Hz, H-1'), 5.50 (d, J = 7.6 Hz, H-1''), 5.13(d, J = 8.0 Hz, H-1"") 及 2 个五碳糖端基质子信号 5.59 (d, J = 1.0 Hz, H-1""), 5.41 (d, J = 6.6 Hz, H-1"), 其波谱数据与文献报道一致[14], 故鉴定化 合物 10 为三七皂苷 FP2, 其 ¹³C-NMR 数据见表 2。

化合物 11: 白色粉末,易溶于甲醇。 (-)HR-ESI-MS 下分子离子峰 [M+HCOO] 为 m/z 1 285.641 2, 推测其相对分子质量为 1240, 产生的 二级碎片有 m/z 1 107.593 8、945.541 6、783.488 7、 621.436 6、459.387 6,发生 1 个五碳糖和 4 个葡萄 糖的连续中性丢失,根据碎片推断结构可能为含 1 个五碳糖基和 4 个葡萄糖基的原人参二醇型皂苷, 结合 ¹H-、 ¹³C-NMR 数据确定其分子式为 C₅₉H₁₀₀O₂₇。 ¹H-NMR 谱中显示 2 个原人参二醇连氧 氢质子信号 $\delta_{\rm H}$ 3.29 (d, J=11.4 Hz, H-3), 4.21 (m, H-12), 1 个烯氢信号 $\delta_{\rm H}$ 5.32 (m, H-24), 高场区有 8 个甲基氢信号 $\delta_{\rm H}$ 0.79、0.95、0.98、1.11、1.27、 1.61、1.66 (6H), ¹³C-NMR 谱中显示低场区 1 个特 征双键碳信号 $\delta_{\rm C}$ 126.1 (C-24), 131.3 (C-25), 证实化 合物为原人参二醇型皂苷。13C-NMR 谱中显示 5 个 糖端基碳信号 $\delta_{\rm C}$ 105.0 (C-1), 103.2 (C-1"), 98.2 (C-1""), 106.6 (C-1""), 105.5 (C-1"""), ¹H-NMR 谱中 显示 4 个 β-型葡萄糖糖端基质子信号 $\delta_{\rm H}$ 4.94 (d, J= 7.2 Hz, H-1'), 5.11 (d, J = 7.8 Hz, H-1''''), 5.14 (d, J =6.6 Hz, H-1""), 5.53 (d, J = 7.2 Hz, H-1") 和 1 个木 糖端基质子信号 5.41 (d, J=6.6 Hz, H-1")。其波谱 数据与文献报道一致[10],故鉴定化合物 11 为三七 皂苷 Fa, 其 ¹³C-NMR 数据见表 2。

化合物 12: 黄色粉末。(-)HR-ESI-MS 下分子 离子峰 [M-H] 为 m/z 609.145 9, 结合 ¹H-、 ¹³C-NMR 数据推测其分子式为 C₂₇H₃₀O₁₆。¹³C-NMR 谱中显示 1 个羰基碳信号 $\delta_{\rm C}$ 161.3 (C-5), 2 个烯碳 信号 $\delta_{\rm C}$ 155.6 (C-2), 132.9 (C-3), 2 组苯环碳信号 $\delta_{\rm C}$ 161.3、98.8、164.5、93.7、156.4、104.2 和 $\delta_{\rm C}$ 120.9、 131.0、115.3、160.0、115.3、131.0,确定了化合物 的结构母核为黄酮醇类; ${}^{1}H$ -NMR 谱中显示 δ_{H} 6.20 (d, J = 2.0 Hz, H-6), 6.44 (d, J = 2.0 Hz, H-8) 为苯环 A 上间位偶合的 2 个氢信号,提示该化合物结构为 5, 7-二羟基黄酮醇; 1 H-NMR 谱中质子信号 $\delta_{\rm H}$ 8.09 (2H, d, J = 9.0 Hz, H-2', 6'), 6.90 (2H, d, J = 9.0 Hz,H-3′, 5′) 和 13 C-NMR 谱中碳信号 $\delta_{\rm C}$ 131.0 (C-2′, 6'), 115.3 (C-3', 5') 是 4'羟基取代的 B 环上的特征信 号。 13 C-NMR 谱中 2 个糖端基碳信号 $\delta_{\rm C}$ 98.5 (C-1"), 103.8 (C-1"),结合 ¹H-NMR 谱中 2 个糖端基质子信 号 $\delta_{\rm H}$ 5.67 (d, J = 8.0 Hz, H-1"), $\delta_{\rm H}$ 4.58 (d, J = 7.5 Hz, H-1""),确定了化合物结构中的取代糖基类型。 该化合物波谱数据经与文献对照[15],鉴定化合物 12 为山柰酚-3-O-β-D-吡喃葡萄糖基-(1 \rightarrow 2)-β-D-吡喃半 乳糖苷,其 ¹³C-NMR 数据见表 3。

化合物 13: 黄色粉末。(-)HR-ESI-MS 下分子 离子峰 [M-H]-为 m/z 625.140 3, 结合 ¹H-、 ¹³C-NMR 数据推测其分子式为 C₂₇H₃₀O₁₇。¹³C-NMR 谱中显示 1 个羰基碳信号 $\delta_{\rm C}$ 161.3 (C-5), 2 个烯碳 信号 $\delta_{\rm C}$ 155.5 (C-2), 133.1 (C-3), 2 组苯环碳信号 $\delta_{\rm C}$ 161.3、98.8、164.4、93.6、156.3、103.8 和 $\delta_{\rm C}$ 121.2、 116.0、145.0、148.6、115.5、122.2,确定了化合物 为黄酮醇类; 1 H-NMR 谱中, $\delta_{\rm H}$ 6.18 (brs, H-6)、 $\delta_{\rm H}$ 6.39 (brs, H-8),结合 13 C-NMR 谱中特征碳信号 $\delta_{\rm C}$ 98.8 (C-6), 93.6 (C-8), 该化合物结构可能为 5,7-二 羟基黄酮醇; $\delta_{\rm H}$ 7.53 (d, J=2.0 Hz, H-2'), 6.84 (d, J = 8.5 Hz, H-5', 7.67 (dd, J = 8.5, 2.0 Hz, H-6') 是 3′、4′位羟基取代的 B 环上的氢信号。 ¹H-NMR 谱 中 2 个糖的端基氢信号 $\delta_{\rm H}$ 5.64 (d, J = 7.5 Hz, H-1"), 4.57 (d, J = 8.0 Hz, H-1"") 结合 ¹³C-NMR 谱 中 2 个糖端基碳信号 δ C 98.6 (C-1"), 104.4 (C-1""), 确定了化合物结构中的取代糖基类型。化合物的 ¹H-NMR、¹³C-NMR 数据与文献报道化合物数据^[15] 对比,鉴定化合物 13 为槲皮素-3-O-β-D-吡喃葡萄 糖基-(1→2)-β-D-吡喃半乳糖苷,其 ¹³C-NMR 数据 见表 3。

表 3 化合物 12~13 的 ¹³ C-NMR 数据 (125 MHz, DMSO-d ₆)
Table 3 ¹³ C-NMR data for compounds 12—13 (125 MHz,
DMSO-d6)

碳位	12	13	碳位	12	13
1			1''	98.5	98.6
2	155.6	155.5	2"	80.4	80.8
3	132.9	133.1	3"	73.4	73.4
4	177.5	177.5	4''	67.7	67.7
5-OH	161.3	161.3	5"	75.9	75.9
6	98.8	98.8	6''	60.0	60.0
7	164.5	164.4	1′′′	103.8	104.4
8	93.7	93.6	2'''	74.4	74.5
9	156.4	156.3	3′′′	76.6	76.8
10	104.2	103.8	4′′′	69.8	69.7
1'	120.9	121.2	5′′′	77.0	76.6
2'	131.0	116.0	6′′′	60.9	60.8
3'	115.3	145.0			
4′	160.0	148.6			
5′	115.3	115.5			
6′	131.0	122.2			

4 讨论

本研究从三七花 70%乙醇提取物中分离得到 13 个化合物,包括 11 种皂苷与 2 种黄酮苷,其中化合物 1 为新化合物,化合物 9 为首次从三七植物中分离得到。皂苷是三七花中主要的活性成分,文献报道具有抗肿瘤、抗衰老、增强免疫力、保肝等药理活性[16-17]。化合物 1 为新的丙二酸酰化型人参皂苷,该类型化合物广泛存在于人参属植物中,属于酸性人参皂苷,前期研究发现其具有潜在降血糖的活性[3]。本研究为三七资源的充分利用、三七花相关的大健康产品开发等提供了支撑。

利益冲突 所有作者均声明不存在利益冲突 参考文献

- [1] 甘昌敏,陈洪熠,龚云麒.三七花化学成分的研究进展 [J].云南中医中药杂志,2019,40(9):73-75.
- [2] 李先. 三七花皂苷的化学成分研究 [D]. 长春: 吉林大学, 2009.
- [3] Qiu S, Yang W Z, Yao C L, *et al.* Malonylginsenosides with potential antidiabetic activities from the flower buds of *Panax ginseng* [J]. *J Nat Prod*, 2017, 80(4): 899-908.
- [4] Pan J J, He S Y, Shao J Y, *et al.* Critical pharmaceutical process identification considering chemical composition, biological activity, and batch-to-batch consistency: A case study of notoginseng total saponins [J]. *Chin Herb Med*,

- 2020, 12(1): 29-35.
- [5] Shi X J, Yang W Z, Qiu S, et al. An in-source multiple collision-neutral loss filtering based nontargeted metabolomics approach for the comprehensive analysis of malonyl-ginsenosides from Panax ginseng, P. quinquefolius, and P. notoginseng [J]. Anal Chim Acta, 2017, 952: 59-70.
- [6] Cho J G, Lee M K, Lee J W, et al. Physicochemical characterization and NMR assignments of ginsenosides Rb₁, Rb₂, Rc, and Rd isolated from Panax ginseng [J]. J Ginseng Res, 2010, 34(2): 113-121.
- [7] Ruan J Y, Sun F, Zhang Y, *et al.* New 20(*S*)-protopanaxadiol type saponins from the leaves of *Panax notoginseng* and their potential anti-inflammatory activities [J]. *Steroids*, 2020, 162: 108696.
- [8] Wang J R, Yamasaki Y, Tanaka T, et al. Dammarane-type triterpene saponins from the flowers of *Panax notoginseng* [J]. *Molecules*, 2009, 14(6): 2087-2094.
- [9] Wang Y S, Jin Y P, Gao W, *et al.* Complete (¹)H-NMR and (¹³)C-NMR spectral assignment of five malonyl ginsenosides from the fresh flower buds of *Panax ginseng* [J]. *J Ginseng Res*, 2016, 40(3): 245-250.
- [10] 宋建平,曾江,崔秀明,等. 三七根茎的化学成分研究(II) [J]. 云南大学学报:自然科学版,2007,29(3):287-290.
- [11] 李海舟,张颖君,杨崇仁.三七叶化学成分的进一步研究 [J]. 天然产物研究与开发,2006,18(4):549-554.
- [12] Yahara S, Kasai R, Tanaka O. New dammarane type saponins of leaves of *Panax japonicus* C. A. Meyer. 1. Chikusetsusaponins-L5, -L9a and-L10 [J]. *Chem Pharm Bull*, 1977, 25(8): 2041-2047.
- [13] Ko S R, Choi K J, Suzuki K, *et al*. Enzymatic preparation of ginsenosides Rg₂, Rh₁, and F₁ [J]. *Chem Pharm Bull* (*Tokyo*), 2003, 51(4): 404-408.
- [14] Wang X Y, Wang D, Ma X X, *et al.* Two new dammarane-type bisdesmosides from the fruit pedicels of *Panax notoginseng* [J]. *Helv Chim Acta*, 2008, 91(1): 60-66.
- [15] 孙璠. 三七叶化学成分及其体外抗炎活性的研究 [D]. 天津: 天津中医药大学, 2020.
- [16] 谢慕可, 许念茹, 黄贤胜. 三七总皂苷对脊髓损伤大鼠 神经元凋亡及 Nrf2、caspase-3 表达的影响 [J]. 世界中 医药, 2020, 15(10): 1410-1413.
- [17] Yoshikawa M, Morikawa T, Kashima Y, et al. Structures of new dammarane-type triterpene saponins from the flower buds of *Panax notoginseng* and hepatoprotective effects of principal ginseng saponins [J]. *J Nat Prod*, 2003, 66(7): 922-927.

[责任编辑 王文倩]